

密码子优化后的 α B-晶状体蛋白基因毕赤酵母重组质粒的构建及表达的初步研究

冯雪, 高香, 牛纯青, 刘堰**

西南大学生命科学学院, 重庆 400715

摘要: α B-晶状体蛋白属于小热休克蛋白家族, 具有分子伴侣活性。在阿尔茨海默病大脑中, 星形胶质细胞表达的 α B-晶状体蛋白明显上调, 并且这些上调的 α B-晶状体蛋白紧密地分布在 β -淀粉样蛋白沉积周围。为了在分子水平上研究胞外 α B-晶状体蛋白在阿尔茨海默病中的作用机制, 需要获得大量具有生物学活性的 α B-晶状体蛋白。根据毕赤酵母密码子偏好性对人 α B-晶状体蛋白基因进行优化, 并在目的基因 3'端加上 6 个组氨酸标签, 优化后的基因克隆到巴斯德毕赤酵母(*Pichia pastoris*)表达载体 pPIC9K 上; 电转入毕赤酵母 GS115 中; 优化确定最佳表达条件为: BMGY 与 BMMY 的转接比为 2:1, 表达时间为 72h, 甲醇补加终浓度为 0.5%; 经 Western-blotting 鉴定, 获得 20kDa 的目的蛋白, 以及 18.6kDa 及 13.1kDa 两个蛋白片段, 重组目的蛋白出现了部分降解, 纯化获得 20 kDa 目的蛋白; 利用胰蛋白酶还原法测定该片段具有分子伴侣活性, 为进一步研究外源 α B-晶状体蛋白在阿尔茨海默病中对星形胶质细胞的保护机制奠定基础。

关键词: α B-晶状体蛋白基因, 巴斯德毕赤酵母, 密码子优化, 表达优化, 分子伴侣活性

Construction of *Pichia pastoris* expression vector of codon optimized α B-crystallin gene and expression optimization

FENG Xue, GAO Xiang, NIU Chun-qing, LIU Yan

College of life science, Southwestern University, Chongqing 400715, China

Abstract: α B-crystallin is a member of the small heat shock protein family, which has the molecular chaperones activity. The expression of α B-crystallin increases obviously in astrocytes in the brains of Alzheimer's disease (AD) patients, and colocalizes with β -amyloid ($A\beta$) protein deposition densely. In order to study the mechanism of extracellular α B-crystallin in Alzheimer's disease at molecular level, we need to obtain a large amount of active α B-crystallin. According to the *Pichia pastoris* codon preference, we optimized the codons of α B-crystallin gene and added six histidine residues at the 3' terminal of the gene. Then we cloned the optimized gene into pPIC9K and transferred the vector into *Pichia pastoris* GS115 through the electroporation method. The best expression conditions are as follows: the transferring proportion of BMGY and BMMY is 2:1; the expression time is 72 h and adding the methanol to the final concentration to 0.5%. There are three protein fragments by Western Blot, and the molecular weights of them are: 20.0 kDa, 18.6 kDa and 13.1 kDa. The recombination protein was partially degraded and obtained the

purified 20 kDa fragment, which has molecular chaperones activity using insulin reduction method. The result may make a base line for further studying protection mechanism of exogenous α B-crystallin to astrocytes in Alzheimer's disease.

Key Words: α B-crystallin, *Pichia pastoris*, codon optimization, expression optimization molecular chaperone activity

α B-晶状体蛋白(α B-crystallin, Cryab)即 α -晶状体蛋白B链,是眼晶状体蛋白的主要成分^[1]。该蛋白在非晶状体组织,包括中枢神经系统也有表达^[2],Cryab作为小分子热休克蛋白(small heat-shock protein, sHSP),具有分子伴侣活性功能,并能防止蛋白积聚,起到保护细胞的作用。在阿尔茨海默症(Alzheimer's disease, AD)患者大脑中Cryab的表达上调,在星形胶质细胞和小胶质细胞中发现Cryab主要限于老年斑和神经纤维缠结,表明Cryab与AD中淀粉样蛋白沉积相关,但其因果关系尚未知^[3-5]。已有研究表明,Cryab蛋白通过与A β 蛋白直接结合等方式有效地阻止A β 蛋白的聚集及其细胞毒性作用^[6-7]。

近来研究发现^[8], α B-晶状体蛋白作为一种小分子热激蛋白,在一些磷酸化激酶的调节网络中扮演重要角色,而异常磷酸化蛋白与AD发病时神经纤维聚集有关。在血清缺乏和有毒试剂刺激下,通过激活MAPK, PI3K / Akts 信号通路和抑制脑内线粒体产生ROS,外源的Cryab蛋白保护星形胶质细胞免于细胞死亡,起有效的细胞保护作用^[9]。Ewa Papu \acute{c} ^[10]等研究指出AD患者Cryab蛋白上调会引发体液免疫

应答,IgM和IgG自身抗体的滴度增加可用作疾病生物标志物。人Cryab蛋白可能是衰老细胞和组织中内源性保护机制的一个重要组成部分。人Cryab蛋白的多功能活性源自暴露在分子表面上的相互作用肽序列。多个非共价相互作用序列可以解释Cryab蛋白对未折叠蛋白质起作用的选择性和灵敏性^[11]。因此,得到具有生物学活性的 α B-晶状体蛋白对于研究外源 α B-晶状体蛋白在阿尔茨海默病中对星形胶质细胞的保护机制,进而探索AD发病机制和治疗具有重要意义。为进一步外源 α B-晶状体蛋白在阿尔茨海默病中对星形胶质细胞的保护机制奠定基础。

随着蛋白质重组技术的发展和重组多肽类药物在临床中的应用, α B-晶状体蛋白主要在大肠杆菌表达中表达^[12-13]。毕赤酵母作为真核表达系统,相较于大肠杆菌等原核表达系统,具有的蛋白加工修饰的能力和先进的表达调控机制,如:磷酸化、糖基化、酰胺化及蛋白酶水解等蛋白功能。利用毕赤酵母进行分泌表达,具有杂蛋白少的特点,有利于重组目的蛋白的纯化。因此,我们期望通过毕赤酵母表达系统表达得到具有生物学活性、空间结构更

加接近于天然蛋白的人αB-晶状体蛋白。

1 材料与方法

1.1 实验材料

Pichia pastoris 整合型分泌表达质粒 pPIC9K 购自 Invitrogen 公司;毕赤酵母菌株 GS115, 宿主菌 *E.coli* (DH5α) 本实验室保存; 各类限制性内切酶、T4 DNA 连接酶均购自 TaKaRa 公司,RNase 购自上海生工公司;引物由上海英俊 (Invitrogen) 公司完成; 胶回收试剂盒、DNA 纯化试剂盒购自天根生物。YPD、BMGY 和 BMMY 培养基均按 Invitrogen 公司的毕赤酵母菌实验操作手册配制。

1.2 实验方法

1.2.1 αB-晶状体蛋白密码子优化

参照 Gene Bank 中 Cryab 基因序列, 根据毕赤酵母密码子偏好, 在不改变氨基酸序列的前提下, 利用密码子优化软件对 αB-晶状体蛋白基因进行密码子优化, 并在序列的 5'端设计了 *Xho* I 酶切位点, 在 3'端设计了 *Eco*R I 酶切位点。将优化构建好的基因序列送至上海生工公司合成, 合成的基因连接到 pMD-18T 载体中。

1.2.1 毕赤酵母表达载体的构建

Cryab 基因扩增: 为便于目的蛋白用亲和层析法进行纯化, 在 Cryab 全长序列上加入一段 6 个组氨酸的 His 标签。以 pMD-18T 载体 (含有 Cryab 全长 cDNA) 为模板, 用合成的上游引物和下游引物 (表 1) 进行 PCR 扩增。

表 1 Cryab 扩增引物

Table 1 The primers used for Cryab

Primer name	Primer sequence (5'-3')
Forward	CCGCTCGAGAAAAGAATGGACATCGCTATTCATCATCC (下划线为 <i>Xho</i> I 和 <i>Kex</i> 2 酶切位)
Reverse	GACGACGAGGATTCTTCGTAGTAGTAGTAGTAGTAGTATTCTTAAGGCC (下划线为 <i>Eco</i> R I 酶切位点)

重组载体的构建: 将扩增得到基因和 pPIC9K 分别用 *Xho* I 和 *Eco*R I 进行酶切, 将回收酶切后的目的基因片段与 pPIC9K 载体片段以摩尔浓度比 3/1 加入到 PCR 管中, 加入 T4 DNA 连接酶后 16℃连接过夜。将连接物转入大肠杆菌 DH5α感受态细胞中, 利用含有相应抗生素 (Amp) 的 LB 固体培养基进行筛选, 经菌落 PCR 筛选阳性克隆大肠杆菌菌株, 酶切鉴定后, 进一步送至上海英潍捷基贸易有限公司测序。

Cryab 毕赤酵母表达菌株的构建: 提取质粒 Cryab/pPIC9K, 用 *Sac* I 酶切线性化后, 电击法转化 GS115 感受态细胞。电转完成后涂布 RDB 平板, 30℃培养 48h 左右, 观察到酵母重组转化子的乳白色菌落出现。经菌落 PCR 鉴定阳性重组子, 获得 Cryab 毕赤酵母表达菌株。

1.2.3 αB-晶状体蛋白的鉴定和表达优化

αB-晶状体蛋白鉴定: 表达上清经 SDS-PAGE 后, 15V, 40min 电转移至聚偏氟乙烯 (PVDF) 膜上, 于含 5%脱脂奶粉的 TBST 溶液中 4℃封闭过夜, 一抗为 His-Tag 鼠抗兔 37℃孵育 1h, 二抗为 HRG 标记的羊抗鼠 IgG37℃孵育 2h, 经过显影定影, 通过目的条带在胶片的位置判断目的蛋白的表达情况和分子量大小。

单因素优化: 参照 Invitrogen Multi-Copy *Pichia* Expression Kit 手册, 筛选到的阳性菌株进行小量诱导表达筛选

高表达菌株。筛选到的高表达菌株进行大量表达,在其他条件一致的情况下进行单因素条件优化,分别对诱导时间,BMGY换成BMMY的转接比例,甲醇补加量进行优化分析。

正交优化:根据单因素条件优化结果,选用正交设计法的 $L_9(3^4)$ 表,以甲醇为A因素(处理水平为0.5%、0.75%、1%),BMGY与BMMY的体积比为B因素(1:2、1:1、2:1),发酵时间为D因素(处理水平为60h、72h、84h),按设计方案控制表达条件,以 α B-晶状体蛋白的浓度为指标,确定最优发酵方案。

1.2.4 α B-晶状体蛋白纯化和鉴定

利用最优发酵条件进行目的蛋白的表达,得到的发酵液进行离心去除菌体,将收集的上清用0.22 μ m滤膜过滤后,与Ni-6FF混合4 $^{\circ}$ C过夜,进行上样,分别用50mM和200mM咪唑pH为7.4的PBS洗脱液进行分步洗脱,收集洗脱液,进行SDS-PAGE电泳检测。

利用蛋白质印迹法鉴定纯化得到的重组目的蛋白。

1.2.5 重组Cryab蛋白活性测定

应用胰岛素还原实验检测 14 α B-晶状体蛋白的分子伴侣活性,原理为 α B-晶状体蛋白具有分子伴侣活性,能够抑制还原剂引起的胰岛素B链聚集而产生的沉淀反应,从而判断重组蛋白是否有分子伴侣活性。

实验分为三组,分别为阴性对照组,阳性对照组和实验组。阴性对照组只加PBS缓冲液,阳性对照组加入胰岛素

(0.8mg/mL, 20mM磷酸盐缓冲液)和还原剂二硫苏糖醇(Dithiothreitol, DTT, 8.0 mg/mL, 20mM磷酸盐缓冲液);实验组为胰岛素、DTT和 α B-晶状体蛋白(胰岛素与 α B-晶状体蛋白质量比为1:1)。利用分光光度计检测可见光值,记录数据;重复三次实验,取平均值,并作曲线图,进行统计学分析。

2 结果

2.1 密码子的优化

通过调整G+C含量,在不改变氨基酸的前提下,对Cryab基因的密码子进行优化,其中涉及109个密码子的改变,覆盖86个氨基酸,并在终止密码子前加入了6*His纯化标签。

2.2 质粒Cryab/pPIC9K的构建及鉴定

以合成的pMD-Cryab质粒为模板,利用上、下游引物进行目的基因扩增。经1%琼脂糖凝胶电泳检测,目的基因约546bp(图1a),与预期大小一致。Cryab/pPIC9K质粒经Xho I/EcoR I酶切鉴定,其中一段与目的基因大小相符(546bp),证明Cryab已成功连接到pPIC9K载体上。经测序,进一步确定插入片段阅读框和方向是正确的。

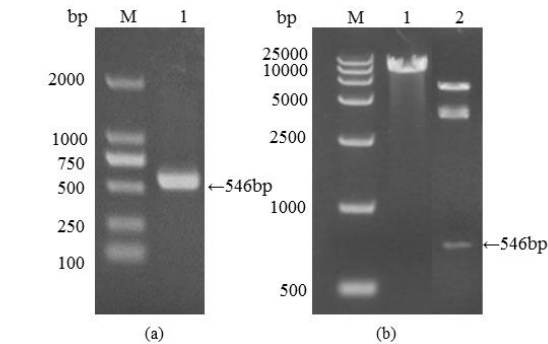


图 1 Cryab PCR 产物凝胶电泳及重组质粒酶切鉴定

Fig. 1 Gel electrophoresis of Cryab gene PCR products and identification of recombinant colonies by enzyme digestion.

(a) 1: Positive PCR results. (b) 1: Recombinant plasmid digested with *Sac* I; 2: Recombinant plasmid digested with *Xho* I and *Eco*R I.

2.3 毕赤酵母表达菌的构建和筛选

线性化的重组质粒电转化进入毕赤酵母 GS115。菌落 PCR 鉴定，结果显示 1, 3-12, 14-21 泳道在 500bp-750bp 之间均出现了目的条带（图 2），表明外源基因和酵母染色体发生同源重组，获得了重组酵母菌株。

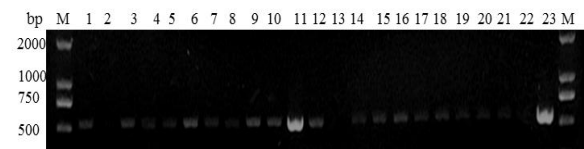


图 2 酵母菌落 PCR 结果

Fig. 2 Yeast PCR Screening results.

1, 3-12, 14-21: Positive clones; 2, 13, 22: Negative clones; 23: Positive control.

2.4 重组蛋白表达条件优化

对表达时间、转接比和甲醇补加量进行单因素优化，SDS-PAGE 结果显示诱导表达至 60h、72h、84h 时，发酵上清的目的蛋白含量相对较高(图 3a); 转接比为 1:1 时，目的蛋白表达量最高（图 3c）；每隔 12h 补加甲醇至终浓度 0.75%，重组目的蛋白表达量最高（图 3d）。Western-blotting 分析出现分子量为 20kDa、18.6kDa、13.1kD 三条蛋白片段（图 3b）。L₉ (3⁴) 正交优化实验结果表明转接比为 2:1，甲

醇补加量为 0.5%，发酵时间为 72h 时(表 2)，重组蛋白表达量最高。

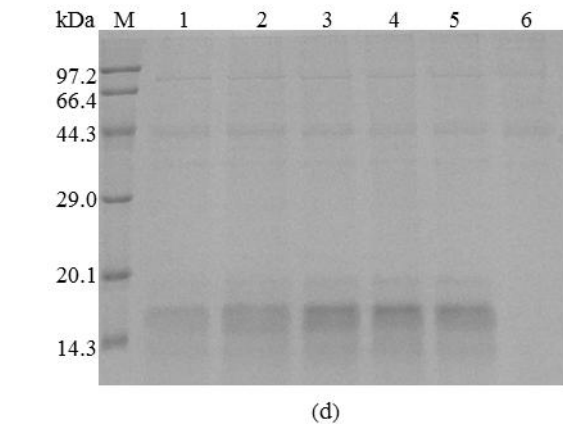
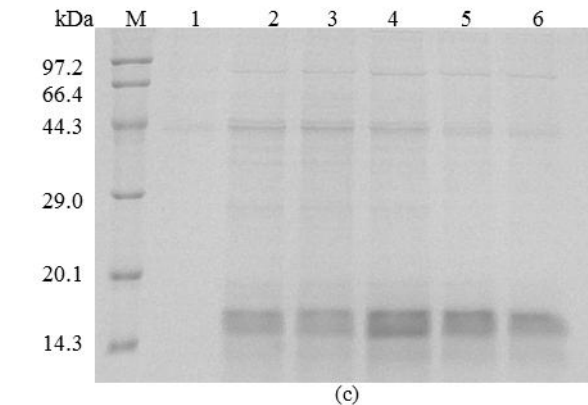
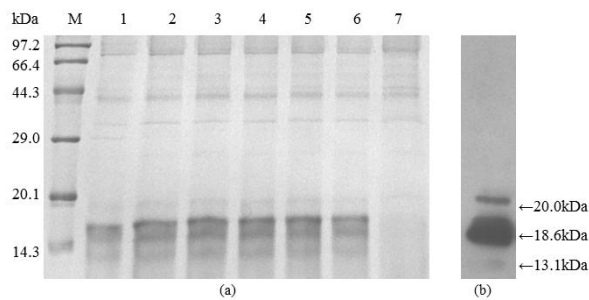


图 3 诱导时间、转接比、甲醇对重组αB-晶体体蛋白的影响和 Western-blotting 鉴定

Fig. 3 Effect of induction time, transfer ratio and methanol concentration on the recombinant protein and Western-blotting analysis.

(a) Induction time, M: Low Molecular Weight Protein Marker; 1-6: Target protein with expressed by 36h, 48 h, 60 h, 72 h, 84 h, 96 h; 7: Negative Control (pPIC9K/GS115). (b) Western-blotting analysis of recombinant protein. (c) Transfer ratio, 1: Negative Control; 2-6: Transfer ratio of 1:3, 1:2, 1:1, 2:1, 3:1. (d) Methanol concentration, 1-5: Methanol complement: 1.25%, 1.0%, 0.75%, 0.75%, 0.5%, 0.25%;

6: Negative Control (pPIC9K/GS115).

表 2 重组 CRYAB 表达条件 L9 (3⁴) 正交优化结果

Table 2 Recombinant CRYAB expression condition orthogonal L9 (3⁴) optimization results

Number	Transfer ratio	Methanol (%)	Expression time(h)	Protein concentration (mg/L)
1	3:1	0.25	60	147.8
2	3:1	0.50	84	177.7
3	3:1	0.75	72	183.5
4	2:1	0.25	84	155.3
5	2:1	0.50	72	230.1
6	2:1	0.75	60	217.2
7	1:1	0.25	72	178.2
8	1:1	0.50	60	189.5
9	1:1	0.75	84	188.4
k1	169.67	160.43	184.83	
k2	200.87	199.10	192.27	
k3	185.37	196.47	173.13	
R	30.33	38.67	19.14	

2.5 重组蛋白的分离纯化及鉴定

发酵上清与 Ni-6FF 混合上样后，通过含有 50mM 和 200mM 咪唑的 PBS 洗脱，得到样品通过 SDS-PAGE 分析（图 4a），结果表明：重组蛋白全部挂柱，可见上样后的穿过峰溶液中没有重组蛋白，收集到的 50mM 咪唑洗脱液中可见分子量为 18.6kDa 的蛋白片段，200mM 咪唑洗脱液中可见分子为 20kDa 的蛋白片段。经 Western-blotting 鉴定，证实纯化得到的目的蛋白为 20kDa(图 4b)。

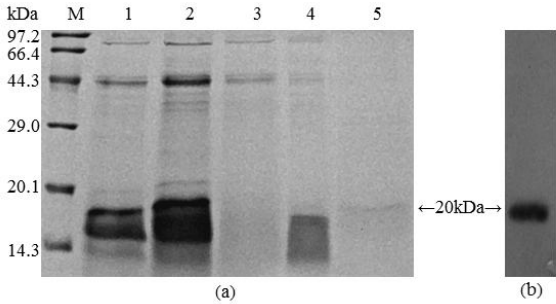


图 4 重组蛋白的纯化和 Western-blotting 鉴定

Fig.4 Purification of recombinant protein and Western-blotting analysis of recombinant protein.

(a) M: Low Molecular Weight Protein Marker; 1, 2: Fermentation supernatant; 3: Through peak; 4: 50mM elution peak; 5: 200mM elution peak. (b) Western-blotting analysis of recombinant protein.

表 3 αB-晶状体蛋白纯化过程总结

Table 3 Summary of the purification of αB-crystallin

Purification step	Total	Total protein	Purity	Percentage
-------------------	-------	---------------	--------	------------

	volume (mL)	(mg)	(%)	yield (%)
Fermentation supernatant	200.0	59.8	78.9	100.0
Ni-6FF	30.0	12.0	98.0	24.9

2.6 αB-晶状体蛋白的分子伴侣活性测定

用胰岛素还原实验对毕赤酵母表达的 αB-晶状体蛋白进行了分子伴侣活性检测，结果显示，阳性对照组 A₆₅₀ 吸收值高于实验组(图 6)，说明毕赤酵母表达的 αB-晶状体蛋白具有生物活性，能抑制还原剂 DTT 引起的胰岛素 B 链聚集反应，说明重组目的蛋白具有分子伴侣活性。

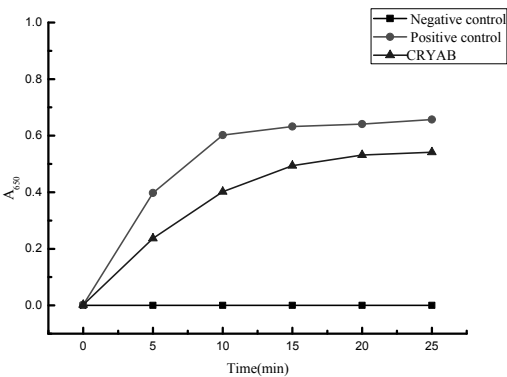


图 6 αB-晶状体蛋白分子伴侣活性测定

Fig. 6 Detection of the molecular chaperones activity of recombinant αB-crystallin

3 讨论

本实验根据毕赤酵母的密码子偏爱性对编码 αB-晶状体蛋白 cDNA 进行了优化，确保了目的蛋白在毕赤酵母中的顺利表达。成功构建了 Cryab/pPIC9K 载体，通过对表达条件进行优化，确定该菌株的最适表达条件为 BMGY 转接到 BMMY 的比例为 2:1，发酵时间 72 小时，每 12 小时补加甲醇至终浓度 0.5%，各个因素的影响依次为：甲醇浓度>转接比>发酵时间。

从 NCBI 上查得人的 Cryab 蛋白分子量为 20kDa, 大肠杆菌表达得到的分子量也为 20kDa^[15]。毕赤酵母表达的 α B-晶状体蛋白经 SDS-PAGE 及蛋白印迹分析, 发现分子量分别为 20kDa、18.6kDa 及 13.1kDa 三条蛋白片段, 其中以 18.6kDa 为主, 推测可能是在表达过程中 α B-晶状体蛋白出现了部分降解。在纯化过程中, 我们发现这三种分子量的蛋白都能挂柱, 200mM 咪唑洗脱获得纯化的分子量为 20kDa 的 α B-晶状体蛋白条带。

迄今为止, 利用毕赤酵母表达外源目的蛋白的工业技术已经相当成熟, 但在表达载体构建时添加了 *Kex-2* 酶切位点后, 仍然出现了目的蛋白降解的情况鲜有发生。通过查阅文献得知, 毕赤酵母的液泡内存在各种蛋白水解酶, 其水平根据营养条件而变化^[16], 其中主要的蛋白酶为蛋白酶 A, 蛋白酶 B, 羧肽酶和氨肽酶^[17]。已有研究表明, 当蛋白酶 A 过表达时, 其会分泌到毕赤酵母胞外^[18]。酵母细胞在遭受到饥饿环境、碳源、温度和 pH 的改变时细胞膜会发生裂解。在 Jayanta Sinha^[19]的研究中, 甲醇营养型毕赤酵母利用 AOX1 启动子诱导蛋白表达时, 也触发了胞内蛋白酶的过表达和细胞裂解。因此推测在发酵过程中, 由于酵母细胞的裂解, 导致胞内蛋白酶释放到培养基中, 导致目的蛋白的降解。此外, 在甲醇营养型的巴斯德毕赤酵母中, 利用甲醇代谢需要高氧, 并且氧代谢将产生过氧化氢, 过量有毒副产物的产生导致其分泌到细胞溶质, 并最终到

培养基中^[20], 在这些压力条件下, 酵母细胞通过水解不必要的蛋白质, 以提供氨基酸用于新蛋白质的合成^[21], 我们的目的蛋白属于外源蛋白, 在酵母利用甲醇进行代谢时, 我们的目的蛋白可能被水解成氨基酸, 用于其它蛋白的合成。

利用胰岛素还原实验确定表达得到的重组 α B-晶状体蛋白具有分子伴侣活性。

进一步可对 Cryab 进行改构, 以解决 Cryab 蛋白降解问题; 其次, 可以比较毕赤酵母表达系统和大肠杆菌表达系统所得到的 α B-晶状体蛋白的生物学活性, 以及对于后续研究的影响, 得到 α B-晶状体蛋白更适合的表达系统; 纯化得到的蛋白具有生物学活性, 因此可以用来进行后续实验。为探究 α B-晶状体蛋白在阿尔兹海默症的发病机制扮演的角色, 找到 AD 治疗方法奠定基础。

REFERENCES

- [1] Wistow G J, Piatigorsky J. Lens crystallins: the evolution and expression of proteins for a highly specialized tissue. *Biochemistry*, 1988, 57(57): 479-504.
- [2] Bhat S P, Nagineni C N. B subunit of lens-specific protein α -crystallin is present in other ocular and non-ocular tissue. *Biochem Biophys Res Commun*, 1989, 158(1): 319-325.
- [3] Renkawek K, Voorter C E, Bosman G J, et al. Expression of alpha B-crystallin in Alzheimer's disease. *Acta Neuropathol*, 1994, 87(2): 155-160.
- [4] Björkdahl C, Sjögren M J, Zhou X, et al. Small heat shock proteins Hsp27 or α B-crystallin and the protein components of neurofibrillary tangles: Tau and neurofilaments. *Journal of Neuroscience*

Research, 2008, 86(6): 1343-1352.

- [5] Mao J J, Katayama S, Watanabe C, et al. The relationship between α B-crystallin and neurofibrillary tangles in Alzheimer's diseases. *Neuropathol Appl Neurobiol*, 2001, 27(3): 180-188.
- [6] Dehle F C, Ecroyd H, Musgrave I F, et al. α B-Crystallin inhibits the cell toxicity associated with amyloid fibril formation by κ -casein and the amyloid- β peptide. *Cell Stress and Chaperones*, 2010, 15(6): 1013-26.
- [7] Shamma S L, Waudby C A, Wang S, et al. Binding of the molecular chaperone α B-crystallin to A β amyloid fibrils inhibits fibril elongation.[J]. *Biophysical Journal*, 2011, 101(7): 1681-1689.
- [8] Dammer E B, Lee A K, Duong D M, et al. Quantitative phosphoproteomics of Alzheimer's disease reveals cross-talk between kinases and small heat shock proteins. *PROTEOMICS*, 2015, 15(2-3):508-519.
- [9] Zhu Z, Li R, Stricker R, et al. Extracellular α -crystallin protects astrocytes from cell death through activation of MAPK, PI3K/Akt signaling pathway and blockade of ROS release from mitochondria. *Brain Research*, 2015, 1620:17-28.
- [10] Papuč E, Krupski W, Kurys-Denis E, et al. Antibodies against small heat-shock proteins in Alzheimer's disease as a part of natural human immune repertoire or activation of humoral response. *J Neural Transm*, 2016, 123(4): 455-461.
- [11] Clark J I. Functional sequences in human α B crystallin. *Biochimica Et Biophysica Acta*, 2016, 1860:240-245.
- [12] Sun T X, Das B K, Liang J J. Conformational and functional differences between recombinant human lens α A-and α B-Crystallin. *J Biol Chem*, 1997, 272(10): 6220-6225.
- [13] Horwitz J, Huang Q L, Ding L, et al. Lens α -crystallin: Chaperone-like properties. *Methods in Enzymology*, 1998, 290(98): 365-83.
- [14] Saha S, Das K P. Relationship between chaperone activity and oligomeric size of recombinant human α A- and α B-crystallin: a tryptic digestion study. *Proteins Structure Function & Bioinformatics*, 2004, 57(3): 610-617.
- [15] Sun T X, Das B K, Liang J J. Conformational and functional differences between recombinant human lens α A- and α B-crystallin. *Journal of Biological Chemistry*, 1997, 272(10): 6220-5.
- [16] Hansen R J, Switzer R L, Hinze H, et al. Effects of glucose and nitrogen source on the levels of proteinases, peptidases, and proteinase inhibitors in yeast. *Biochimica Et Biophysica Acta*, 1977, 496(1): 103-114.
- [17] Hb V D H, Kiellandbrandt M C, Winther J R. Review: biosynthesis and function of yeast vacuolar proteases. *Yeast*, 1996, 12(1):1-16.
- [18] Rothman J H, Hunter C P, Valls L A, et al. Overproduction-induced mislocalization of a yeast vacuolar protein allows isolation of its structural gene. *Proceedings of the National Academy of Sciences of the United States of America*, 1986, 83(10): 3248-52.
- [19] Sinha J, Plantz B A, Inan M, et al. Causes of proteolytic degradation of secreted recombinant proteins produced in methylotrophic yeast *Pichia pastoris*: Case study with recombinant ovine interferon- τ . *Biotechnology and Bioengineering*, 2005, 89(1): 102-112.
- [20] Stevens T H, Rothman J H, Payne G S, et al. Gene dosage-dependent secretion of yeast vacuolar carboxypeptidase Y. *Journal of Cell Biology*, 1986, 102(5): 1551-7.
- [21] Hilt W, Wolf D H. Stress-induced proteolysis in yeast. *Molecular Microbiology*, 1992, 6(17): 2437-42.